

PACS numbers: 72.80.Tm, 81.07.Bc, 81.07.Pr, 81.40.Ef, 81.40.Rs, 81.40.Tv

## **Електрофізичні властивості полімерних нанокompatитів на основі нанокристалічного діоксиду олова, модифікованого йодидом міді в широкому діапазоні частот**

Р. В. Мазуренко, С. М. Махно, Г. М. Гуня, П. П. Горбик

*Інститут хімії поверхні ім. О. О. Чуйка НАН України,  
вул. Генерала Наумова, 17,  
03164 Київ, Україна*

Досліджено електрофізичні властивості в широкому діапазоні частот нанокристалічного діоксиду олова, хімічно модифікованого йодидом міді (концентрація до 0,6 об'ємних часток). Показано, що температурні режими відпалу діоксиду олова впливають на електрофізичні характеристики композитів  $\text{CuI}/\text{SnO}_2$  та наносистем  $\text{CuI}/\text{SnO}_2$ -поліхлортрифторетилен і уможливають розширити діапазон регулювання значень комплексної діелектричної проникності та провідності композитів.

Исследованы электрофизические свойства нанокристаллического диоксида олова, химически модифицированного йодидом меди (концентрация до 0,6 объёмных долей) в широком диапазоне частот. Показано, что температурные режимы отжига диоксида олова влияют на электрофизические характеристики композитов  $\text{CuI}/\text{SnO}_2$  и наносистем  $\text{CuI}/\text{SnO}_2$ -полихлортрифторэтилен, а также позволяют расширить диапазон регулирования значений комплексной диелектрической проницаемости и проводимости композитов.

The electrophysical properties of nanocrystalline tin dioxide modified by copper iodide have been studied in a wide frequency range. As shown, the annealing temperature regimes of tin dioxide affect the electrical properties of  $\text{CuI}/\text{SnO}_2$  composites,  $\text{CuI}/\text{SnO}_2$ -polychlorotrifluorethylene nanosystems, and allow to increase a range of control of the complex permittivity and conductivity of composites.

**Ключові слова:** композиційні матеріали, дисперсні наповнювачі, нанокристалічний діоксид олова, міжфазна взаємодія.

*(Отримано 20 червня 2013 р.)*

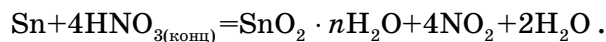
## 1. ВСТУП

Широке застосування дисперсних систем в енергетиці, мікроелектроніці [1–4] тощо обумовлює розроблення нових методів скерованої зміни їх властивостей, в тому числі, при одержанні частинок високої дисперсності, що використовуються як компоненти полімерних композиційних матеріалів (ПКМ). Значну увагу при цьому приділяють фізико-хімічним явищам, адсорбції високомолекулярних сполук на поверхнях різної природи, взаємодіям на межі поділу фаз. Міжфазна поверхня і міжфазна взаємодія в багатокомпонентних системах є визначальними у формуванні комплексу властивостей композиційних матеріалів [5, 6], що може бути важливим при регулюванні властивостей композитів шляхом модифікування поверхні дисперсних частинок. Можливим вирішенням цього питання є одержання полімерних наноккомпозитів при використанні високодисперсних оксидів, як матриць, що мають різну питому поверхню та кислотно-основні властивості [7, 8]. Використання нанорозмірних наповнювачів дозволяє не тільки істотно покращувати характеристики наноккомпозитів при зменшенні ступеня їх наповнення, але й в низці випадків одержати нові властивості, недосяжні при використанні традиційних наповнювачів і модифікаторів [9]. Однак, консолідовані наноккомпозити є складними системами, морфологія яких важко контролюється, що обумовлює актуальність даного напрямку, а також дозволяє оптимізувати склад модифікуючих компонентів у композиційних матеріалах. Тому є цікавим пошук оптимальної дисперсної матриці для реалізації високих експлуатаційних характеристик дисперсних систем і вивчення впливу хімічної природи та особливостей морфології таких матриць на фізико-хімічні властивості ПКМ.

Метою роботи є синтез та дослідження електрофізичних властивостей систем на основі нанокристалічного діоксиду олова, модифікованого йодидом міді та поліхлортрифторетилену (ПХТФЕ), а також впливу природи поверхні діоксиду олова на процеси структуривання CuI на його поверхні.

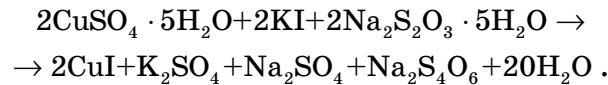
## 2. ОБ'ЄКТИ ТА МЕТОДИ ДОСЛІДЖЕННЯ

Для одержання наноккомпозитів системи SnO<sub>2</sub>/CuI попередньо синтезували діоксид олова згідно з [10]:



Осаджений SnO<sub>2</sub> промивали дистильованою водою і відпалювали в температурному режимі від 338 до 923 К на повітрі впродовж 4 годин. Модифікування нанокристалічного діоксиду олова йодидом

міді (концентрація до 0,6 об'ємних часток) здійснювали при осадженні CuI з водних розчинів CuSO<sub>4</sub>, KI і Na<sub>2</sub>S<sub>2</sub>O<sub>3</sub> в присутності SnO<sub>2</sub> згідно з [11]:



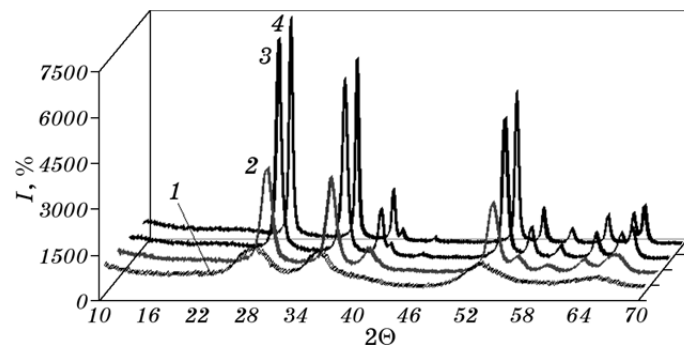
Одержаний після синтезу осад SnO<sub>2</sub>/CuI, попередньо промитий в дистильованій воді, спирті і діетиловому ефірі, висушували в парах сірчаної кислоти за умов пониженого тиску.

Полімерні композити на основі SnO<sub>2</sub>/CuI і поліхлортрифторетилену одержували методом пресування при температурі 513 К і тиску 2 МПа. Дослідження дійсної (ε') та уявної (ε'') складових комплексної діелектричної проникності [12], електропровідності (σ) композитів [13] виконано в надвисокочастотному діапазоні 8–12 ГГц та на низьких частотах 0,1, 1 і 10 кГц.

Рентгенограми одержаних зразків реєстрували на дифрактометрі ДРОН-4-07 (випромінювання CuK<sub>α</sub>-лінії аноду з нікелевим фільтром у відбитому пучку, геометрія знімання за Бреггом–Брентано). Розмір кристалітів визначали за шириною відповідної найбільш інтенсивної лінії згідно з рівнянням Шеррера [16]. Для термогравіметричних досліджень зразків використовували дериватограф Q-1500D.

### 3. РЕЗУЛЬТАТИ ТА ЇХ ОБГОВОРЕННЯ

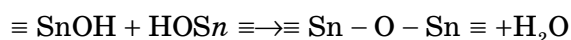
На рисунку 1 наведено рентгенограми одержаних зразків діоксиду олова за різних температур відпалювання. Ідентифікація дифракційних максимумів указує на наявність розмитих піків (зразок 1),



**Рис. 1.** Дифрактограми зразків дисперсного діоксиду олова. Температура відпалювання, (К): 1 — 338, 2 — 673, 3 — 823, 4 — 923.

що може бути пов'язано з утворенням у процесі синтезу  $\alpha$ -олов'яної кислоти  $\text{SnO}_2 \cdot n\text{H}_2\text{O}$ . Як відомо [14], кислота ( $\text{SnO}_2 \cdot n\text{H}_2\text{O}$ ) рентгеноаморфна, але при видаленні води на рентгенограмах все більш чітко виявляються лінії, що відповідають кристалічній фазі (типу рутилу)  $\text{SnO}_2$ .

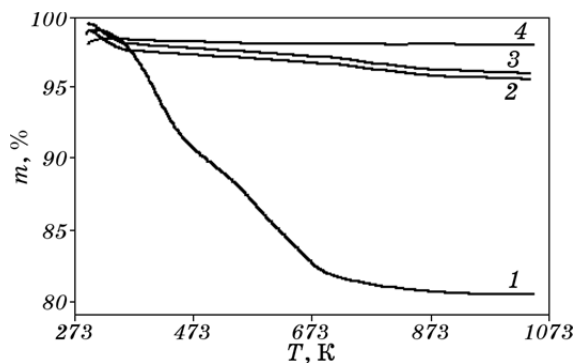
Таке пояснення добре узгоджується з плавним спадним характером кривої втрати маси (рис. 2). Дані термогравіметричного аналізу одержаного порошку діоксиду олова (рис. 2, крива 1) вказують, що при нагріванні від 293 до 463 К втрата маси становить 8,5% внаслідок видалення води, адсорбованої на поверхні зразків. З подальшим підвищенням температури не спостерігається відповідних екстремумів та відбувається втрата маси до 16,5%, що може бути обумовлено поступовим видаленням води, яка утворилася при конденсації поверхневих гідроксильних груп



у процесі спікання частинок  $\text{SnO}_2$  [15].

При зростанні температури відпалювання  $\text{SnO}_2$  впродовж 4 годин характер кривих втрати маси змінюється симбатно (рис. 2, криві 2, 3, 4), і втрата маси при цьому становить до 5%. Таким чином, до температури 1073 К діоксид олова знаходиться в частково гідратованому стані [15].

Рентгенограми синтезованих наноккомпозитів  $\text{SnO}_2/\text{CuI}$  (рис. 3) вказують на наявність кубічної структури йодиду міді, а основні рефлекси зростають пропорційно вмісту  $\text{CuI}$  в зазначених зразках. Середній розмір кристалітів  $\text{CuI}$  становив  $\sim 35$  нм. Слід зазначити, що кристалічність йодиду міді, який осаджено хімічним способом на поверхню дисперсного  $\text{SnO}_2$ , нелінійно залежить від температури відпалювання діоксиду олова. Ймовірною причиною цього може



**Рис. 2.** Втрата маси зразків діоксиду олова при нагріванні. Температура відпалювання синтезованого  $\text{SnO}_2$ , (К): 1 — 338, 2 — 673, 3 — 823, 4 — 923.

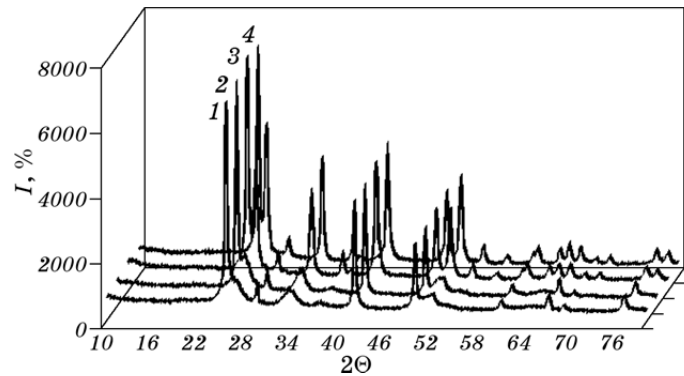


Рис. 3. Температура відпалювання діоксиду олова, (К): 1 — 573, 2 — 623, 3 — 873, 4 — 923.

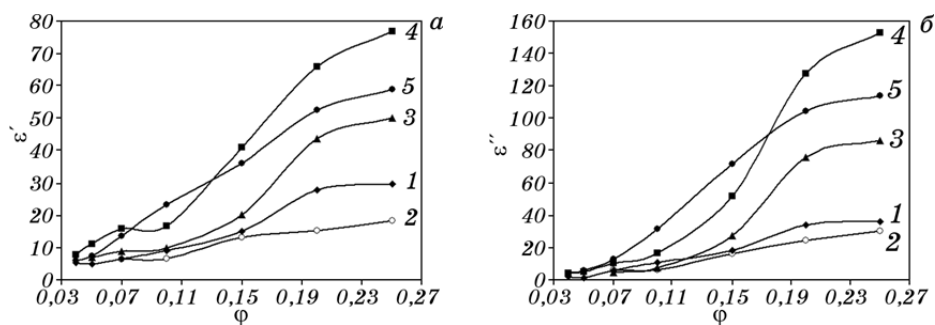
бути утворення нерегулярних агломератів ультрадисперсних частинок  $\text{SnO}_2$  у процесі відпалювання (див. табл. 1).

У ході електрофізичних досліджень експериментально встановлено, що температурні режими відпалу діоксиду олова впливають на електрофізичні характеристики композитів систем  $\text{SnO}_2/\text{CuI}$  та  $\text{SnO}_2/\text{CuI}$ -ПХТФЕ (рис. 4–6). Так, на рисунку 4 представлено залежності дійсної (*a*) та уявної (*b*) складових комплексної діелектричної проникності нанокompозитів системи  $0,5\text{CuI}/\text{SnO}_2$ -ПХТФЕ від об'ємного вмісту йодиду міді. З рисунка видно, що максимальні значення діелектричної проникності в надвисокочастотному діапазоні відповідають композитам, які містять діоксид олова, відпалений при 823 К (крива 4). Крім того, поріг перколяції композитів  $0,5\text{CuI}/\text{SnO}_2$ -ПХТФЕ зміщується в область менших концентрацій наповнювача при зростанні температури відпалювання  $\text{SnO}_2$ .

Температурні режими відпалу діоксиду олова впливають на значення електропровідності композитів  $0,5\text{SnO}_2/\text{CuI}$ -ПХТФЕ в цілому (рис. 5). А саме, із зростанням температури відпалювання  $\text{SnO}_2$  спостерігалось поступове збільшення значень  $\sigma$  полімерних композитів. Проаналізувавши одержані дані з позиції теорії перколяції

ТАБЛИЦЯ 1. Розмір кристалітів дисперсного  $\text{SnO}_2$  від температури відпалювання.

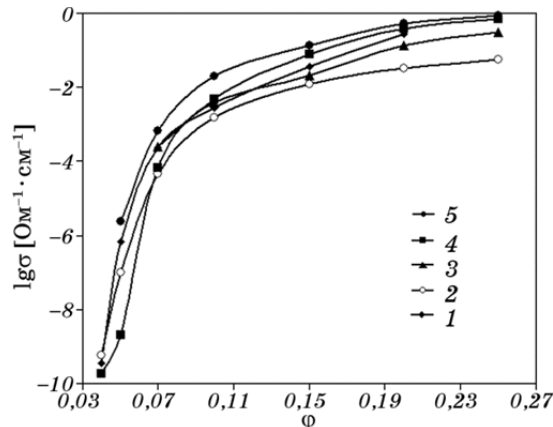
№	Температура відпалювання, К	Розмір кристалітів, нм
1	338	6
2	673	7
3	823	16
4	923	20



**Рис. 4.** Залежність  $\epsilon'$  (а) та  $\epsilon''$  (б) (на частоті 9 ГГц) полімерних нанокompatитів від об'ємного вмісту ( $\phi$ ) йодиду міді системи  $0,5\text{SnO}_2/\text{CuI}$ -ПХТФЕ. Температура відпалювання  $\text{SnO}_2$ , (К): 1 — 338, 2 — 573, 3 — 623, 4 — 823, 5 — 923.

(згідно з рівнянням  $\sigma = \sigma_i(\phi - \phi_c)^t$ , де  $\sigma_i$  — електропровідність наповнювача,  $\phi$  — об'ємний вміст,  $\phi_c$  — значення концентрації, що відповідає порогу перколяції,  $t$  — критичний індекс) було визначено, що значення порогу перколяції для вказаних систем змінюється від 0,045 до 0,035 при зростанні температури відпалювання  $\text{SnO}_2$  до 923 К. Такий характер концентраційних залежностей пов'язаний зі зміною розмірів частинок йодиду міді та структури їх кластерів на поверхні діоксиду олова.

Змінюючи температуру відпалювання нанокристалічного діоксиду олова та співвідношення між оксидною та провідною компо-

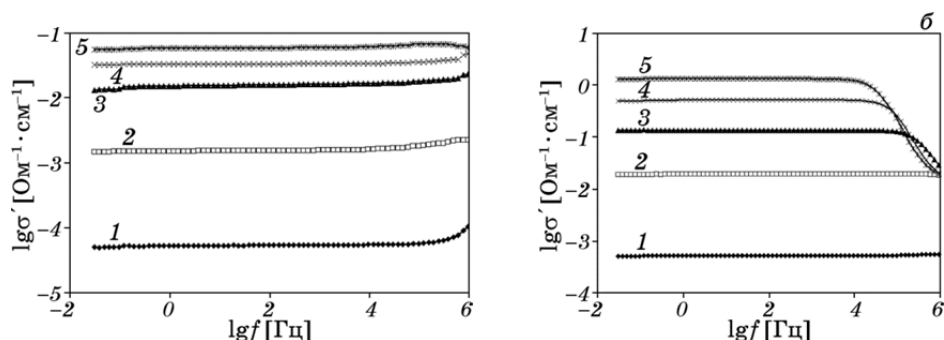


**Рис. 5.** Залежність логарифма електропровідності (на частоті 100 Гц) полімерних нанокompatитів від об'ємного вмісту ( $\phi$ ) йодиду міді системи  $0,5\text{SnO}_2/\text{CuI}$ -ПХТФЕ. Температура відпалювання  $\text{SnO}_2$ , (К): 1 — 338, 2 — 573, 3 — 623, 4 — 823, 5 — 923.

нентами в процесі синтезу, можна керувати в широкому діапазоні значеннями порогу перколяції, комплексної діелектричної проникності та електропровідності полімерних композитів. Складний характер зміни значень  $\epsilon'$ ,  $\epsilon''$  та електропровідності обумовлений особливостями структурування  $\text{SnO}_2/\text{CuI}$  в полімері. Так, при дослідженні дисперсних оксидів, модифікованих провідними компонентами таких систем як:  $\text{SiO}_2/\text{AgI}$  [18],  $\text{SiO}_2/\text{CuI}$  [19, 20],  $\text{TiO}_2/\text{CuI}$  [21] з подальшим введенням у полімери, також спостерігали складний характер зміни значень  $\epsilon'$ ,  $\epsilon''$  і  $\sigma$ , що пов'язаний з особливостями структурування частинок модифікованих оксидів у полімерах, а також проявами впливу межових шарів полімеру на електрофізичні властивості одержаних композитів. А саме, зміни значень комплексної діелектричної проникності та електропровідності спостерігаються при малому вмісті  $\text{CuI}$  в трикомпонентних системах, оскільки частинки високодисперсних оксидів, що покриті кластерами йодиду міді, утворюють, в свою чергу, розгалужені кластери в полімері при більш низькому наповненні. Це дає можливість зменшити кількість провідної компоненти в полімерних композитах внаслідок її оптимального розподілу. Так, для системи  $\text{SiO}_2/\text{CuI}$  [19, 20] утворення тонкого шару  $\text{CuI}$  на поверхні частинок діоксиду кремнію подібно утворенню електропровідних сфер. Як відомо, змінні струми протікають значною мірою по поверхні електропровідного матеріалу і проникають в його об'єм на товщину «скін-шару». Тому виявляється, що при взаємодії з електромагнітним випромінюванням використання «сфер» є більш ефективним, ніж частинок у формі «кулі» [22].

Також було виконано вимірювання імпедансу композитів ПХТФЕ– $\text{CuI}/\text{SnO}_2$  за кімнатних температур при об'ємному вмісті  $\text{CuI}$  від 0,07 до 0,25. Значення комплексної питомої електропровідності визначали відповідно до рівняння  $\sigma^* = \sigma' + i\sigma'' = 1/\rho^*$ , де  $\rho^* = \rho' + i\rho'' = Z^*(S/h)$ , де  $S$  і  $h$  — площа та товщина зразка, відповідно. На рисунку 6 наведено частотні залежності дійсної складової електропровідності ( $\sigma'$ ) композитів системи  $0,5\text{SnO}_2/\text{CuI}$ –ПХТФЕ за різних температур відпалювання  $\text{SnO}_2$ . Для зразків, що містять діоксид олова, який був відпалений при 573 К (рис. 6, а), величина  $\sigma'$  з частотою практично не змінюється. А для композитів, що містять діоксид олова, який був відпалений при 823 К, в області частот  $f > 10^4$  Гц спостерігається зменшення значень дійсної складової електропровідності (рис. 6, б). Таке зменшення пов'язано із суттєвим внеском уявної складової імпедансу системи в загальну частотну залежність електропровідності.

Для композитів після порогу протікання еквівалентну схему можна представити як послідовно з'єднані опір та індуктивність. При зростанні вмісту провідної фази в композитах розгалужені кластери зменшуються за довжиною. Отже, загальна індуктивність зменшується, одночасно, зменшується опір, резонансна частота, і



**Рис. 6.** Частотні залежності дійсної складової електропровідності ( $\sigma'$ ) композитів системи  $0,5\text{SnO}_2/\text{CuI}$ –ПХТФЕ за різних температур відпалювання  $\text{SnO}_2$  ( $T$ , К): 573 (а), 823 (б). Об'ємний вміст йодиду міді: 1 — 0,07, 2 — 0,1, 3 — 0,15, 4 — 0,2, 5 — 0,25.

на залежностях  $\lg \sigma'(f)$  буде спостерігатись зменшення значень  $\sigma'$ . Це пов'язано з тим, що активний опір більший ніж індуктивний. Ця умова не виконується, як правило, у високочастотному діапазоні. Для композитів з вмістом електропровідної компоненти до порогу перколяції зростання значень  $\sigma'$  (рис. 6, а) описується еквівалентною схемою у вигляді паралельно з'єданого опору і ємності. При зростанні вмісту провідної компоненти зменшуються прошарки полімеру між частинками наповнювача. Реактивний опір ємності зменшується і шунтує активний опір, чим і пояснюється різке зростання електропровідності на високих частотах.

#### 4. ВИСНОВКИ

Розроблено методику синтезу нанокompозита на основі дисперсного діоксиду олова з осадженням на ньому хімічним способом йодиду міді ( $\text{CuI}/\text{SnO}_2$ ) та встановлено оптимальні концентрації ( $\cong 0,5$  об'ємних часток), за яких електрофізичні параметри ( $\epsilon'$ ,  $\epsilon''$  та  $\sigma$ ) набувають максимальних значень.

Встановлено, що температурні режими відпалу діоксиду олова впливають на електрофізичні характеристики композитів  $\text{CuI}/\text{SnO}_2$  та наносистем  $\text{CuI}/\text{SnO}_2$ –ПХТФЕ. Максимальні значення діелектричної проникності та електропровідності в широкому діапазоні частот мають вказані композити, що містять  $\text{SnO}_2$ , відпалений при температурі 823 К та об'ємному співвідношенні  $\text{SnO}_2:\text{CuI}$  як 1:1.

#### ЦИТОВАНА ЛІТЕРАТУРА

1. А. Д. Помогайло, А. С. Розенберг, И. Е. Уфлянд, *Наночастицы металлов в*



- полимерах* (Москва: Химия: 2000).
2. D. Y. Godovsky, *Adv. Polym. Sci.*, **153**: 163 (2000).
  3. А. А. Берлин, С. А. Вольфсон, В. Г. Опшмян, Н. С. Ениколопов, *Принципы создания композиционных материалов* (Москва: Химия: 1990).
  4. Yu. S. Lipatov, *Polymer Reinforcement* (Toronto: Chem. Techn. Publ.: 1995).
  5. C.-W. Nan, L. Z. Fan, Y. Lin et al., *Phys. Rev. Lett.*, **26**, No. 1: 266104/1 (2003).
  6. P. A. R. D. Yayahilaka, M. A. K. L. Dissanayake, I. Albinsson et al., *Electrochim. Acta*, **47**, No. 20: 3257 (2002).
  7. А. Л. Бучаченко, *Успехи химии*, **72**, № 5: 419 (2003).
  8. *Нанотехнология в ближайшем десятилетии. Прогноз направления исследований* (Ред. М. С. Роко, В. С. Уильямс, П. Аливисатос) (Москва: Мир: 2002).
  9. Р. А. Андриевский, *Рос. хим. журн.*, **XLVI**, № 5: 50 (2002).
  10. Н. Ф. Стась, *Введение в химию* (Томск: СТАНИФ: 2007).
  11. *Руководство по неорганическому синтезу* (Ред. Г. Брауэр) (Москва: Мир: 1985).
  12. Л. М. Ганюк, В. Д. Игнатков, С. М. Махно и др., *УФЖ*, **40**, № 6: 627 (1995).
  13. Л. П. Павлов, *Методы определения параметров полупроводниковых материалов* (Москва: Высшая школа: 1987).
  14. В. В. Иванов, И. А. Сидорак, А. А. Шубин, Л. Т. Денисова, *Journal of Siberian Federal University. Engineering & Technologies*, **2**, No. 3: 189 (2010).
  15. І. Ф. Миронюк, В. Л. Челядин, В. О. Коцюбинський, Л. І. Миронюк, *Фізика і хімія твердого тіла*, **12**, № 1: 174 (2011).
  16. А. Гинье, *Рентгенография кристаллов* (Москва: Гос. изд-во физ.-мат. литературы: 1995).
  17. М. Н. Румянцева, М. Н. Булова, Д. А. Чареев и др., *Вестн. Моск. Ун-та. Сер. 2*, **42**, № 5: 348 (2001).
  18. P. P. Gorbik, V. V. Levandovs'kyi, R. V. Mazurenko et al., *Physics and Chemistry of Solid State*, **7**, No. 4: 713 (2006).
  19. *Наноструктурные полимерные композитные материалы для электромагнитной экологии. Наноматериалы и нанокompозиты в медицине, биологии, экологии* (Ред. А. П. Шпак, В. Ф. Чехун) (Киев: Наукова думка: 2011).
  20. Р. В. Мазуренко, С. М. Махно, В. М. Міщенко та ін., *Металлофиз. новейшие технол.*, **33**, № 12: 1603 (2011).
  21. R. V. Mazurenko, S. N. Makhno, V. N. Mischenko et al., *Proc. Conf. 'Multifunctional Nanomaterials' (May 12-14, 2011, Uzhorod)*.
  22. В. В. Никольский, Т. И. Никольская, *Электродинамика и распространение радиоволн* (Москва: Наука: 1989).